

## KYLMÄMUOVATTUJEN PROFIILIEIEN ANALYSOINTI FINITE STRIP -MENETELMÄLLÄ

Timo Björk

Rakenteiden mekaniikka Vol. 20  
No 3 1987, s. 3...20

*YHTEENVETO: Finite Strip -menetelmä (FSM) on yksinkertaistettu versio tavanomaisesta elementtimenetelmästä. FSM soveltuu hyvin kylmämuovattujen profiilien stabiiliuden analysointiin, koska sillä voidaan arvioida palkin sekä globaalista nurjahduskäyttäytymistä (taso-, vääntö- tai avaruusnurjahdus sekä kiepahdus) että paikallisempia ilmiöitä (paikallinen lömmähdys ja vinoutumisnurjahdus). Menetelmässä palkin poikkileikkaus jaetaan koko palkin pituuden yli ulottuviin kaistoihin, joiden pitkittäisluuntaista käyttäytymistä kuvataan siniaallon puolikkaalla. Palkin stabiiliuden menetys ratkaistaan ominaisarvotehtävänä. Menetelmän sovelluksia on tarkasteltu esimerkin avulla.*

### JOHDANTO

Kylmämuovattujen profiilien mitoituksessa rakenneosan stabiiliuden varmistamisella on keskeinen merkitys. Mahdollisia vauriomuotoja on useampia kuin perinteisillä, valssaamalla valmistetuilla tuotteilla. Vauriomuotojen tai niiden yhdistelmien ratkominen käsinlaskentana on työlästä, eikä kaikkiin tapauksiin ole edes olemassa valmiita analyttisiä ratkaisuja.

Epälineaarinen FE -menetelmä tarjoaa kyllä työkalun edellä mainittujen ongelmien ratkaisemiseen, mutta se on usein turhan monipuolinen ja siten raskaskäyttöinen, kun halutaan selvittää esimerkiksi eri profiilivaihtoehtojen keskinäistä paremmuutta.

Jos tehtävänä on selvittää pelkästään aksiaalisesti kuormitetun rakenteen kapasiteettia, voidaan vaurioitumismuotoa palkin pituus-suunnassa kuvata menestyksellisesti esim. siniaallon osalla.

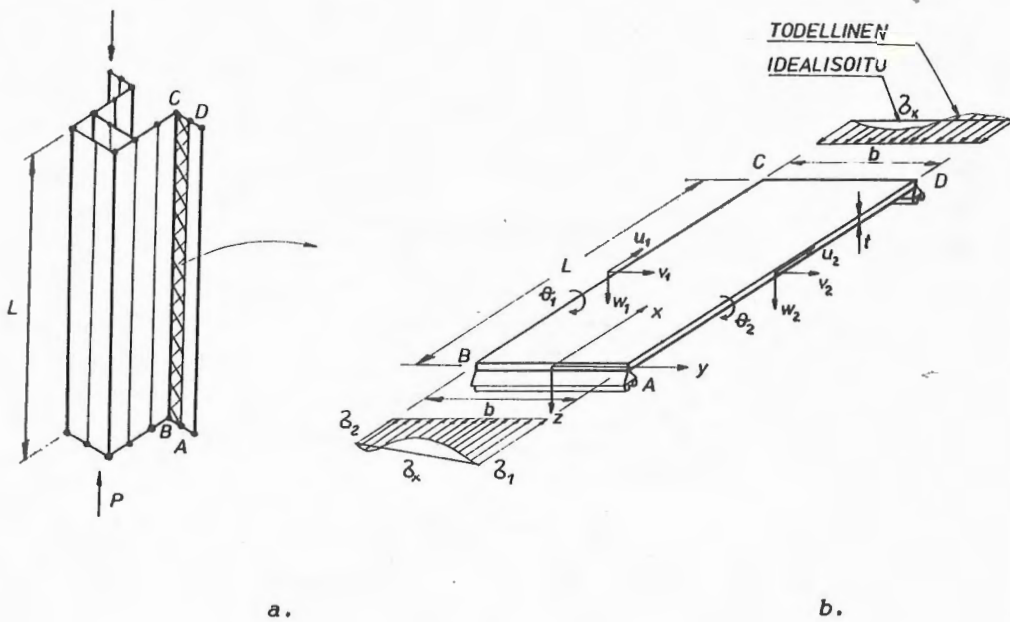
Palkkia ei tarvitse diskretisoida pituussuunnassa lainkaan, ja tämä merkitsee vapausasteiden lukumäärän huomattavaa pienenemistä. Ongelma voidaan palauttaa ikäänkuin tasotapaukseksi, jolloin sauvan geometrian mallintamiseen riittää poikkileikkauksen elementteihin jakaminen ja sauvan pituuden ilmoittaminen. Poikkileikkauksen elementti on siten koko sauvan pituuden yli ulottuva kaistale (strip), jonka ominaisuudet pituussuunnassa ovat analyttisesti määritettyjä. Menetelmälle ei ole vielä vakiintunutta suomenkielistä nimeä (ehdotus: 'kaistaloitimenetelmä'), joten tässä yhteydessä käytetään alkuperäisnimeä 'Finite Strip -menetelmä' tai sen lyhennettä FSM. Menetelmä on siis puolianalyttinen ja yksinkertaistettu versio yleisestä elementtimenetelmästä.

Finite Strip -menetelmää stabiiliusanalyyysiin ovat kehittäneet ja soveltaneet mm. Plank ja Wittrick /1/, Graves-Smith, Sridharan, Gierlinski Benito ja Ashraf /2/ - /8/, Cheung /9/, Hancock /10/ - /12/, Mahmoud /13/ sekä Schöppach /14/. Epälineaaraisia sovelluksia on käsitelty mm. lähteissä /15/ ja /16/ ja menetelmää on edelleen kehitelty erityissovelluksiin aivan viime aikoina.

## TEORIAA

Teoreettiset perusteet on esitetty yksityiskohtaisesti edellä mainituissa viitteissä, kuten /1/, /9/ ja /13/. Jos analysoitavana on kuvan 1 a mukainen aksiaalisesi puristettu sauva, riittää kohtalaisen tarkkuuden saavuttamiseen b-kohdassa esitetty kaistaleisiin jako. Paikallisten stabiiliusilmiöiden selvittämiseksi myös hoikat osakentät on jaettava kaistoihin.

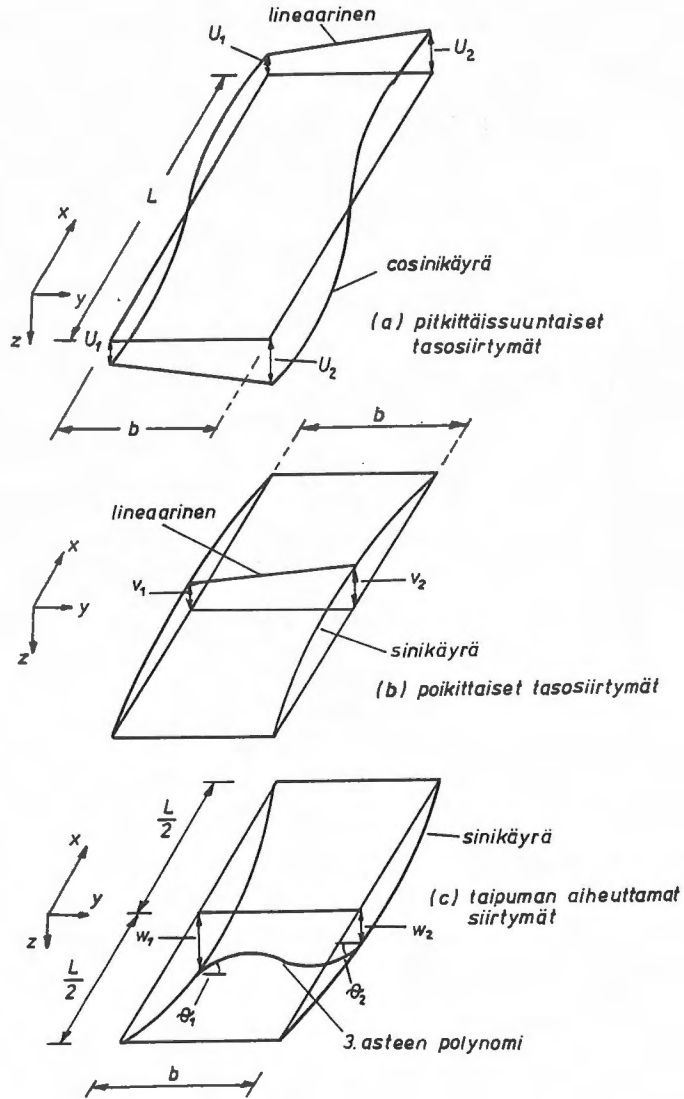
Syntyneet suorakaiteen muotoiset kaistaleet oletetaan muodoltaan virheettömiksi. Kukin kaista voi olla kiinnitetty viereiseen kaistaan tai olla vapaareunainen. Kuormitus annetaan solmupisteiden jännityksinä, jolloin sen oletetaan muuttuvan lineaarisesti solmusta toiseen ja vaikuttavan kaistan keskilinjalla.



Kuva 1. Aksiaalisesti kuormitetun palkin analysointi

- a) Koko palkki
- b) Yksi kaistale

Sauva tai sen osakenttä menettää stabiiliutensa siniaallon puolikkaan muodossa, ja kuhunkin solmulinjaan sisältyy neljä vapausastetta. Kuvan 2 mukaisesti pituusakselin suuntainen siirtymä  $u$  noudattaa kosini-jakaumaa  $x$ -akselin suunnassa ja muuttuu lineaarisesti  $y$ -akselin suunnassa. Toinen tasosiirtymä  $v$  muuttuu sinimuotoisesti kaistan pituussuunnassa ja lineaarisesti  $y$ -akselin suunnassa. Tason normaalin suuntaisen siirtymän  $w$  oletetaan noudattavan sinijakaumaa kaistan pituussuunnassa ja kolmannen asteen polynomijakaumaa tätä vastaan kohtisuorassa suunnassa.



Kuva 2. Kaistaleen muotofunktiot /13/

Kaistan mielivaltaisen pisteen siirtymätila  $\{f\}$  voidaan nyt kuvata solmuisiirtymien  $\{\delta\}$  ja muotofunktioiden  $[N]$  avulla seuraavasti

$$\{f\} = \begin{Bmatrix} u \\ v \\ w \end{Bmatrix} = \Sigma [N]_m \{\delta\}_m = [N] \{\delta\} \quad (1)$$

jossa

$$\{6\} = \{ u_1 \ v_1 \ w_1 \ \theta_1 \ u_2 \ v_2 \ w_2 \ \theta_2 \}^T \quad (2)$$

Vektorin komponentit ovat kaistan reunan siirtymä- ja kiertymäamplitudeja. Siirtymäfunktioiden tulee täyttää kuvassa 1 b esitetyt yksinkertaisesti tuetun levyn reunaehdot kaistan molemmissa päissä. Nämä reunaehdot tulevat täytetyiksi määrittämällä solmusiirtymät Fourier-sarjoina seuraavasti,

$$u = \sum_n Y_n(y) \cdot \cos(n\pi x/l)$$

$$v = \sum_n Y_n(y) \cdot \sin(n\pi x/l) \quad (3)$$

$$w = \sum_m Y_m(y) \cdot \sin(m\pi x/l)$$

Lausekkeessa (3)  $n$  ja  $m$  ovat puoliaaltojen lukumääriä. Tavallisesti ollaan kiinnostuneita ensimmäisestä ominaisuudesta. Siirtymäfunktion polynomiosuus määritetään siten, että se täyttää suppenevuusehdosta määräytyvän vakiovenymävaatimuksen poikittaisessa ( $y$ ) suunnassa. Muotofunktioita kuvaava matriisi on tyyppiä  $3 \times 8$ , jossa kolme vastaa siirtymien lukumäärää ja kahdeksan vastaa yhden kaistan vapausasteiden lukumäärää.

Muotofunktioiden määrittämisen jälkeen kaistan siirtymien ja kuormituksen välistä yhteyttä kuvaava jäykkyysmatriisi voidaan muodostaa normaaliin tapaan joko virtuaalisen työn tai potentiaalienergian minimin periaatteella.

$$[K_0] = \int_V [B]^T [D] [B] dV \quad (4)$$



Matriisi [B] määrittää venymien ja siirtymien välisen yhteyden, eli

$$\{\epsilon\} = \begin{Bmatrix} \epsilon_x \\ \epsilon_y \\ \gamma_{xy} \end{Bmatrix} = \begin{Bmatrix} \frac{du}{dx} \\ \frac{dv}{dy} \\ \frac{du}{dy} + \frac{dv}{dx} \end{Bmatrix} + z \cdot \begin{Bmatrix} -\frac{d^2w}{dx^2} \\ -\frac{d^2w}{dy^2} \\ 2 \frac{d^2w}{dx dy} \end{Bmatrix} = [B] \{\delta\} \quad (5)$$

Matriisi [D] on kimmomatriisi, joka on tasotapauksessa muotoa

$$[D] = \frac{E}{1-\nu^2} \begin{bmatrix} 1 & \nu & 0 \\ \nu & 1 & 0 \\ 0 & 0 & \frac{1-\nu}{2} \end{bmatrix} \quad (6)$$

Koko rakenteen jäykkyydsmatriisin kokoamiseen tarvitaan vain yksinkertainen tasomuunnos.

Przemieniecki /17/ on esittänyt kaistan geometrisen jäykkyydsmatriisin [K<sub>G</sub>] muodostamisen taipuman aiheuttamille siirtymille (paikallinen lommahdus). Vakiopakuiselle kaistaleelle saadaan aksiaalikuormituksessa (kuva 1b) sekä tasosiirtymiä että taipuman aiheuttamia muodonmuutoksia sisältävälle ominaismuodolle /9/

$$[K_G] = t \cdot \iint \{\sigma_1 - (\sigma_1 - \sigma_2) \cdot y/b\} [G]^T [G] dx dy \quad (7)$$

jossa matriisi [G] määritetään venymien ja siirtymien välisestä yhteydestä

$$\begin{Bmatrix} \frac{du}{dx} \\ \frac{dv}{dx} \\ \frac{dw}{dx} \end{Bmatrix} = [G] \{\delta\} \quad (8)$$

Geometrinen jäykkymatriisi muodostetaan lineaariseen stabiilius-analyysiin perustuen. Kokonaisjäykkymatriisiksi saadaan annetun kuormituksen moninkertaisarvolla  $\lambda \cdot \{F\}$

$$[K] = [K_0] + \lambda \cdot [K_G] \quad (9)$$

Rakenne menettää stabiiliutensa, mikäli sen jäykkymatriisin determinantti saa arvon nolla, eli

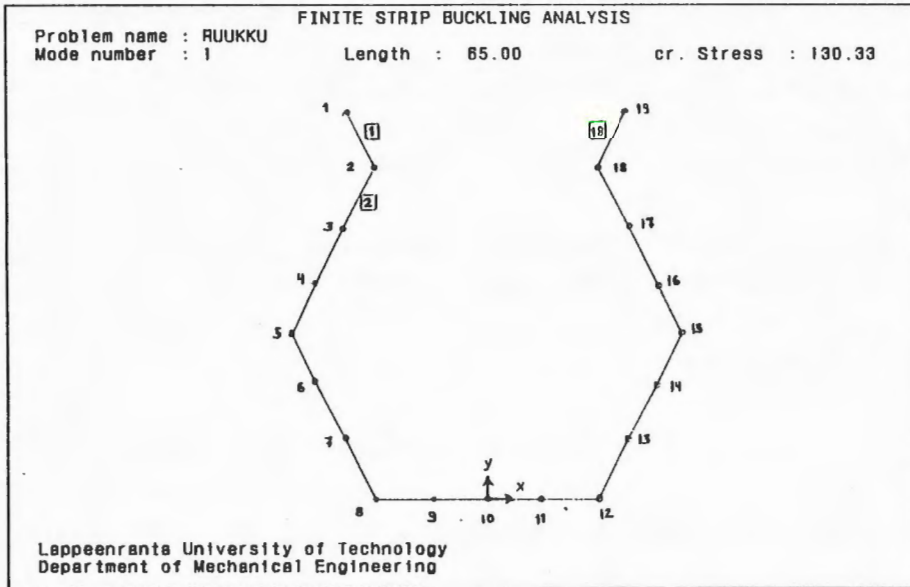
$$|[K_0] + \lambda \cdot [K_G]| = 0 \quad (10)$$

Tämä ominaisarvotehtävä ratkaistaan esim. Sturm-jonotekniikkaa käyttäen /18/, ja tuloksena saatava pienin  $\lambda$ - arvo vastaa alinta stabiiliuden menetykseen johtavaa kuormituskerrointa. Stabiiliuden menetyksen ominaismuoto saadaan skaalaamalla muut siirtymät yksikön suuruisen maksimisiirtymän mukaan kaistaleen keskikohdalla ( $x=l/2$ ). Ylempiä ominaismuotoja vastaavia arvoja saadaan niin paljon kuin rakenteella on potentiaalisia vapausasteita.

#### FINITE STRIP ANALYYSIOHJELMA

Ko. mikrotietokoneohjelma perustuu lähteessä /9/ esitettyyn teoriaan. Valmiina saatava ohjelma vastaa Finite Strip -menetelmän perusversiota ilman erityispiirteitä, ja sen on kehittänyt Hancock /18/.

Lähtötietojen antaminen esitetään seuraavan esimerkin kommentteina. Kyseessä on teräksinen haarukkalaakeroitu poikkileikkaukseltaan ruukku muistuttava profiili (kuva 3), jonka puristuskestävyys halutaan selvittää.



Kuva 3. Analysoitava profiili

#### ESIMERKKILASKELMA

Poikkileikkaukseltaan ruukun muotoista profiilia kuormitetaan tasanjakautuneella aksiaalikuormituksella, jolloin resultantti vaikuttaa automaattisesti poikkileikkauksen painopisteessä. Muuntelemalla sauvan kokonaispituutta saadaan kuvassa 4 esitetyt stabiiliuden menetyksen ominaismuodot Finite Strip PC-ohjelman tuloksista.



RUUKKU

210000 210000 0.3 0.3 81000

19 18 1 20 1000

1 -50 140 1 1 1 1 1

2 -40 120 1 1 1 1 1

3 -50 100 1 1 1 1 1

4 -60 80 1 1 1 1 1

5 -70 60 1 1 1 1 1

6 -60 40 1 1 1 1 1

7 -50 20 1 1 1 1 1

8 -40 0 1 1 1 1 1

9 -20 0 1 1 1 1 1

10 0 0 1 1 1 1 1

11 20 0 1 1 1 1 1

12 40 0 1 1 1 1 1

13 50 20 1 1 1 1 1

14 60 40 1 1 1 1 1

15 70 60 1 1 1 1 1

16 60 80 1 1 1 1 1

17 50 100 1 1 1 1 1

18 40 120 1 1 1 1 1

19 50 140 1 1 1 1 1

1 1 2 3

2 2 3 3

3 3 4 3

4 4 5 3

5 5 6 3

6 6 7 3

7 7 8 3

8 8 9 3

9 9 10 3

10 10 11 3

11 11 12 3

12 12 13 3

13 13 14 3

14 14 15 3

15 15 16 3

16 16 17 3

17 17 18 3

18 18 19 3

.05 .06 .07 .1 .2 .3 .4 ... 3.0

ongelman nimi

$E_x$   $E_y$   $\nu_x$   $\nu_y$   $G$

$N_s$   $N_e$   $N_m$   $N_l$   $L$

solmunumero

koordinaattiarvot x ja y

solmun vapausasteet:

$\delta_x$   $\delta_y$   $\delta_z$   $\delta_\theta$

0 = estetty

1 = vapaa

ja viimeisenä jännitys ko solmussa

+ = puristusta

- = vetoa

elementin numero

solmunumerot

elementin paksuus

pituuskertoimet (20 kpl)

$E$  = kimmokerroin

$\nu$  = Poissonin vakio

$G$  = leikkauskimmokerroin

$N_s$  = solmujen lukumäärä

$N_e$  = elementtien lukumäärä

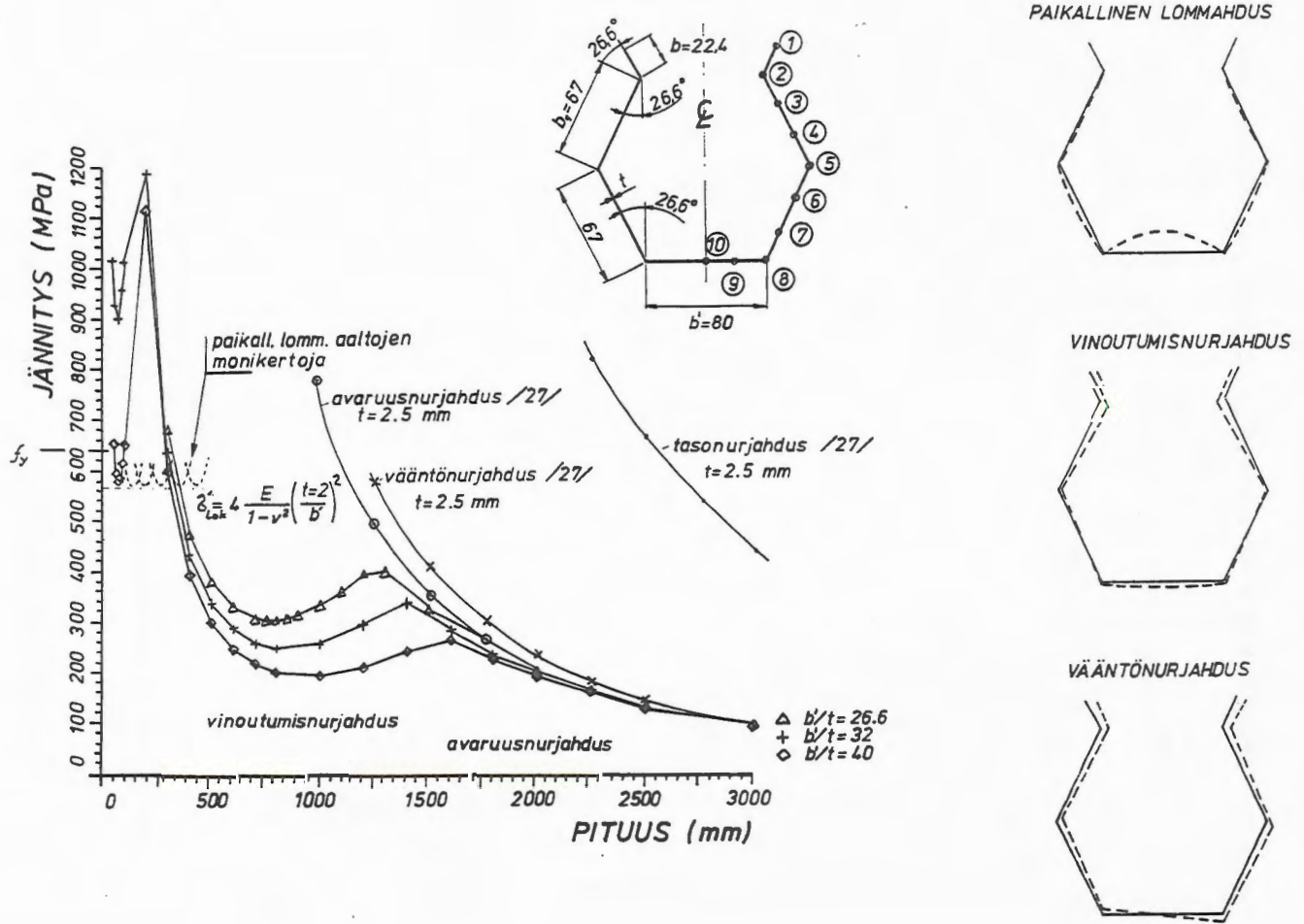
$N_m$  = ominaismuotojen luku

$N_l$  = pituuksien lukumäärä

$L$  = sauvan peruspituus

Tehtävän kuvaus on siten yksinkertaista, ja sitä voisi generointia käyttäen entisestään helpottaa.

Kuva 4. Profiilin ominaisvauriokäyrät



Sauvan kriittinen puristusjännitys on laskettu kolmella eri levynpaksuudella siten, että hoikin levykenttä vaihtelee mittasuhteiltaan hoikasta puolikompektiin käytännössä kaikilla tavanomaisilla teräslaaduilla. (Puolikompaktilla tarkoitetaan sellaista yksittäiskentän leveys/paksuus mittasuhdetta, jolla lommahdus ei alenna sallittua jännitystä, vaan mitoitus voidaan tehdä suoraan myötörajan perusteella.)

Käyrän ensimmäinen laakso edustaa paikallisen lommahduksen ominaisuutta. Sen sinipuoliaallon puolikkaan pituus on hieman lyhyempi kuin hoikimman osakentän leveys. Tämä laaksomuoto toistuu tietysti perusmuodon moninkertana sauvan pituuden kasvaessa. Käytännön laskennan kannalta vain minimiarvo on merkityksellinen, mutta puolikompektisuuden johdosta paikallinen lommahdus ei pienennä nyt ideaalista puristuskapasiteettia millään sauvan pituudella, ellei kyseessä ole erityisen luja materiaali.

Toinen laakeampi laakso edustaa vinoutumisnurjahduksen (distortion) ensimmäistä siniaallon pituuden puolikasta. Aallonpituus kasvaa profiilin poikkileikkauksen hoikentuessa. Vinoutumisnurjahdus on nyt selvästi määräävä, vaikka poikkileikkaus olisi mitoitettu kompaktiksi. Se ei siis ole tae vinoutumisnurjahduksen eliminoinniseksi. Jos reunajäykisteen jäyhyyden riittävyys tarkastetaan modifioiduilla Winterin kaavoilla /19/, saadaan

$$I_{tarv} \geq \begin{cases} 9.2 \cdot t^4 \\ 1.83 \cdot t^4 \sqrt{[(b_1/t)^2 - 27600/f_y]} \end{cases} = t \cdot b^3 \cdot \cos^2 \theta / 12 \quad (11)$$

$$b \geq \begin{cases} t \cdot \sqrt[3]{(110/\cos^2 \theta)} \\ 2.8 \cdot t^{-1/3} \sqrt[6]{[(b_1/t)^2 - 27600/f_y]} \cdot (\cos \theta)^{2/3} \end{cases} \quad (12)$$

Myötörajoletuksella  $f_y = 640$  MPa reunalipan pituudelle saadaan tässä tapauksessa vaatimuksia 19 mm:sta ( $t = 2$  mm) 25 mm:iin ( $t = 3$  mm), joten reunalipan mitoittaminen riittäväksi ( $b = 22.4$  mm =  $b_{cr}$ , kun  $t = 2.5$  mm) ei näyttäisi estävän vinoutumisen kriittisyyttä tässä tapauksessa.

Vinoutumisnurjahduksen määräämä kriittinen puristusjännitys on tällä pituusalueella myös huomattavasti alle taso-, vääntö- tai avaruusnurjahdusjännitysten. Vinoutumisnurjahduksen toinen pituus-suuntainen ominaisuus antaa suunnilleen saman kuormitettavuuden kuin ohjelmalla suoraan saatu avaruusnurjahduskapasiteetti. Näiden kahden ominaisuudon mahdollista interaktiota ei menetelmällä pystytä selvittämään.

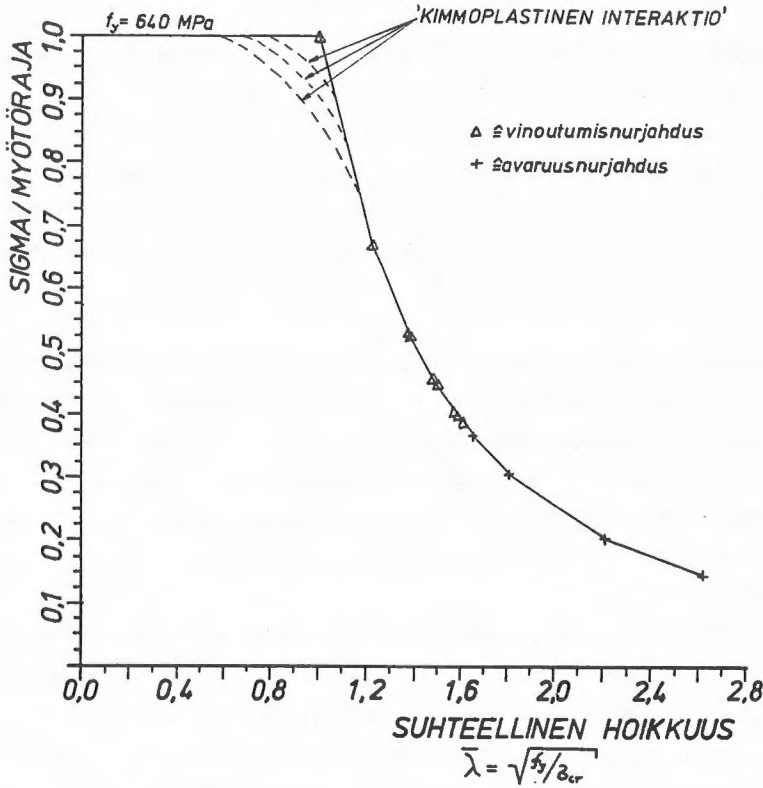
Pituutta lisättäessä kriittinen puristusjännitys pienenee monotonisesti Eulerin hyperbelin mukaisesti. Kuvassa esitetyllä alueella avaruusnurjahdus on vääntönurjahduspainotteisesti dominoiva. Käyrästä saadaan suuntaviivoja siihen, miten poikkileikkauksen mittasuhteita tulisi muuttaa tarkasteltavalla pituudella. Tällöin on kuitenkin otettava huomioon, ettei lommahdusnurjahdus-interaktio eivätkä muutkaan eri aallonpituuksilla tapahtuvat interaktiot ole tuloksissa esillä.

Kriittistä puristuskuormaa kuvaavan käyrän laaksoalueiden välistä teoreettista kuormitettavuuden lisääntymistä ei hyödynnetä käytännössä. Ominaisuusmuoto on ko. alueilla yleensä sekamuotoinen, jollainen myös laaksoarvo voi olla.

Jos absoluuttiset asteikot korvataan suhteellisilla asteikoilla kuvan 5 mukaisesti, tulee ominaiskäyrästä monotonisesti laskeva. Suhteellista hoikkuutta määritettäessä kriittisenä jännitysarvona käytetään sitä ominaisuudon jännitystä, jolla stabiliteetin menetyks tapahtui.

Vinoutumisnurjahduksen ja vääntönurjahduksen kriittinen puristusjännitys voitaisiin tämän esimerkin mukaan määrittää samalta käyrältä. Käyrä kulkee nyt pisteen (1,1) kautta, koska paikallinen lommahdus oli eliminoitu. Yleisessä tapauksessa käyrän 'oikaisemisen' aste saattaa riippua ominaisuudosta, ja tämä kimmoplastisen alueen kriittinen puristusjännitys on varmistettava kokeellisesti.

## RUUKKU



Kuva 5. Eri stabiiliusilmiöiden määräämä suhteellinen kriittinen jännitys suhteellisen hoikkuuden funktiona

Bornscheuer /20/ on esittänyt samantyylistä menetelmää, jossa suhteellista hoikkuutta redusoidaan vauriomuodosta (nurjahdus, lomahdus tai kuorilomahdus) riippuvalla vakiokertoimella. Kuormitettavuus voidaan määrittää tämän jälkeen yhtä ainoaa 'stabiiliuskäyrää' käyttäen. Tämän asian yleistäminen eri stabiiliuden menetyksimuotoihin kaikilla parametrivaihtoehdoilla vaatisi lisäselvityksiä.



## YHTEENVETO MENETELMAN SOVELTAMISESTA

Seuraavaan luetteloon on koottu tiivistetysti menetelmän perusominaisuuksia ja käyttökokemuksia:

1. Yleistä. Menetelmällä voidaan arvioida ideaalisen suoran sauvan stabiiliutta annetulla aksiaalikuormituksella.

2. Poikkileikkaus. Sauvan on oltava prismaattinen, ja kunkin kaistan on oltava paksuudeltaan vakio. Poikkileikkaus voi olla muodoltaan mielivaltainen (avoin, kotelomainen tai näiden yhdistelmä), kunhan se on suorista tahkoista koostuva.

3. Reunaehdot. Reunaehdot ovat symmetriset palkin molemmissa päissä. Globaalisesti tuenta vastaa niveltä, jonka kiertyminen pituusakselin ympäri on estetty, mutta jonka siirtymä on vapaa (ainakin osittain) sauvan pituusakselin suunnassa. Yksittäisen osakentän reunaehto vastaa yhteensopivuusehdot täyttävää niveltä. Sauvan pää on siten vapaa käyristymään.

Palkin pituussuunnassa kukin solmulinja voi olla vapaa tai tuettu minkä tahansa neljän vapausasteen suhteen. Tämä mahdollistaa mm. sidottujen nurjahdusten ja kiepahdusten (päätymomenttien kuormittama palkki) laskennan sekä vertailulaskelmia eri ominaisuudoilta, jotka muuten saataisiin vasta korkeimmilla kertaluvuilla. Pakotetun kiertokeskiön on sijaittava kuitenkin profiilin piirillä, mikä estää ohjattujen kiepahdusten ja nurjahdusten laskennan. Monimutkaistenkaan profiilien symmetrisyysominaisuuksia ei kannata hyödyntää mallin yksinkertaistamiseksi, koska kriittisiä ominaismuotoja voi jäädä silloin pois.

4. Kuormitus. Kuormitus on symmetrinen palkin molemmissa päissä, eikä poikittaisia kuormituksia voida ottaa huomioon. Kuormitusjakaumalla voidaan jäljitellä keskeisesti tai epäkeskeisesti puristetun sekä kiepahtavan sauvan kuormitustilannetta (ennen stabiiliuden menetystä). Esi- ja jäännösjännitysten vaikutus voidaan ottaa huomioon määrittämällä niiden suhde kriittiseen kuormitukseen iteroimalla ja superponoimalla ne sitten ulkoiseksi kuormaksi

(vaikka superpositioperiaate ei olekaan jäännösjännitysten yhdistämisessä voimassa). Pakkosiirtymät ovat teoriassa mahdollisia kuormitustapauksia, mutta yksinkertaisimmissa analyysiversioissa niitä ei ole mukana.

5. Tulosten käsittely. Menetelmä antaa tulokseksi sen kuormituskerroimen arvon, jolla kerrottuna annettu kuormitus tulee kriittiseksi. Jännityksinä annettava kuormitus kannattaa valita esim. myötörajan tai yksikön suuruiseksi tulosten havainnollistamiseksi.

Annettu sauvanpituus vastaa syntyvää puoliallon pituutta. Siten todellisia rakenteita analysoitaessa on laskettava myös joukko lyhyempiä sauvan pituuksia selvittämään, onko paikallisten ilmiöiden aallonpituuksien monikertaa vastaava kriittinen jännitys määräävämpi myös tutkittavalla pituudella. Menetelmä ei siis ota huomioon eri aallonpituudella tapahtuvien ilmiöiden interaktiota, kuten lommahdusnurjahdusta. Sen sijaan menetelmä ottaa huomioon annetulla aallonpituudella syntyvien ominaismuotojen keskinäisen interaktion.

Menetelmä soveltuu pitkien palkkien keskiosassa tapahtuvien paikallisten ilmiöiden analysointiin, vaikka palkki ei olisikaan päistään nivelellisesti tuettu. Tämä edellyttää kuitenkin, että puolialtoja on pituussuunnassa vähintään kolme.

Menetelmä ei ota huomioon suurten siirtymien vaikutusta kantokykyyn. Myöskään ylikriittisellä alueella rasiusten uudellenjakautumisen seurauksena syntyvää kantokyvyn lisääntymistä ei voida selvittää. Saatu kriittinen kuormitus edustaa teoreettista bifurkaatio-arvoa, joten suunnittelussa käytettävän kantokyvyn laskemiseksi tulosta on redusoitava normien ohjeiden mukaan kuten perinteisiä Euler-kuormiakin.

LAHDELUETTELO

1. Plank R. & Wittrick W., *Buckling under combined loading of thin, flat-walled structures by complex finite strip method. International journal for numerical methods in engineering, vol. 8, 1974.*
2. Graves-Smith T. & Sridharan S., *A finite strip method for the buckling of plate structures under arbitrary loading. International journal of mechanical science, vol. 20, 1978*
3. Graves-Smith T. & Shidharan S., *A finite strip method for the post-locally buckled analysis of plated structures. International journal of mechanical science, vol. 20, 1978*
4. Shidharan S. & Graves-Smith T., *Postbuckling analyses with finite strips. Journal of the engineering mechanics division, ASCE, vol. 107, No. EM5, October, 1981.*
5. Shidharan S., *A finite strip analysis of locally buckled plate structures subject to nonuniform compression. Engineering structures, vol. 4, October, 1982.*
6. Graves-Smith T. & Gierlinski J., *Buckling of stiffened webs by local edge loads. Journal of structural division, ASCE, vol. 108, No. ST6, June, 1982.*
7. Shidharan S. & Ashraf A., *Iterative buckling in thin-walled beam-columns. Journal of engineering mechanics, ASCE vol. 111, No. 12, December, 1985.*
8. Benito R. & Shidharan S., *Interactive buckling analysis with finite strips. International journal for numerical methods in engineering, vol. 21, 1985.*

9. Cheung Y., *Finite strip method in structural analysis*. Pergamon Press, 1976.
10. Hancock G., *Local, distortional, and lateral buckling of I-beams*. *Journal of structural division, ASCE*, vol. 104, No. ST11, November, 1978.
11. Hancock G., *Structural buckling and vibration analyses on microcomputers*. *Civil engineering transactions*, vol. CE26, No. 4, November, 1984.
12. Hancock G., *Distortion buckling of steel storage rack columns*. *Journal of structural engineering, ASCE*, vol. 111, No. 12, December, 1985.
13. Mahmoud N., *Inelastic stability of plate structures using the finite strip method*. Department of civil and structural engineering, University of Sheffield. January 1981.
14. Schöppach A., *Eine Untersuchung zum gleichzeitigen Knicken und Beulen dünnwandiger prismatischer Stäbe mit Hilfe der Methode der finiten Streifen*. VDI-Zeitschriften, VDI-Verlag, Duisburg, 1983.
15. Hancock G., *Nonlinear analysis of thin sections in compression*. University of Sydney, School of civil engineering, Research report R355, November 1979.
16. Gierlinski J. & Graves-Smith T., *The geometric nonlinear analysis of thin-walled structures by finite strips*. *Thin-walled structures* 2, 1984.
17. Przemieniecki J., *Matrix analysis of local instability in plates, stiffened panels and columns*. *International journal for numerical methods in engineering*, vol. 5, 1972.

18. Hancock G., *User's manual for program BFINST5 finite strip buckling analysis of thin-walled sections.* The University of Sydney. June 1986.
19. Yu W-W., *Cold formed steel design,* John Wiley & Sons. New York 1985.
20. Bornscheur B., *Einheitliches Bemessungskonzept für gedruckte Schalen, Platten und Stäbe aus Baustahl. Forschungsberichte 19. Institut für Tragkonstruktionen und konstruktives Entwurf.* Universität Stuttgart. 1984

Timo Björk, dipl.ins., Lappeenranta teknillinen korkeakoulu,  
koneenrakennusosasto